

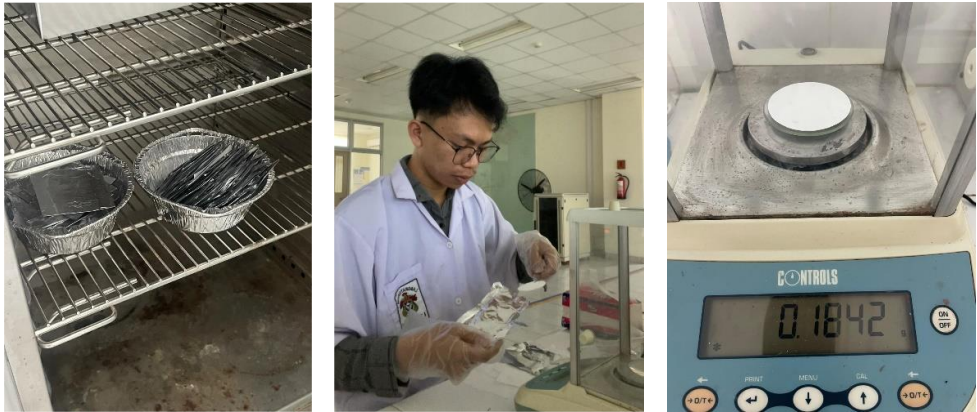
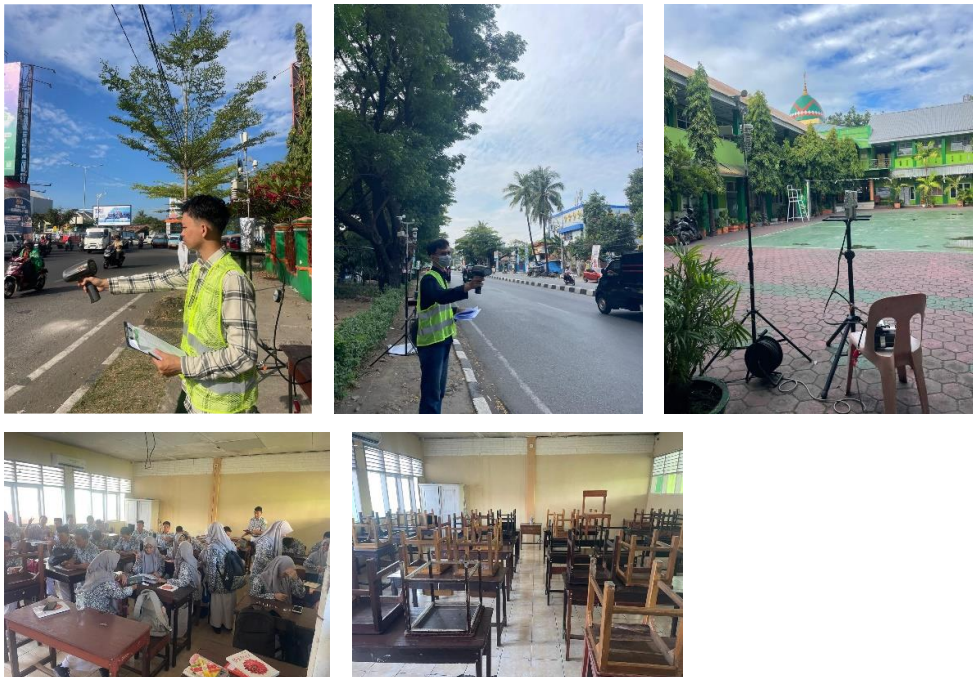
DAFTAR PUSTAKA

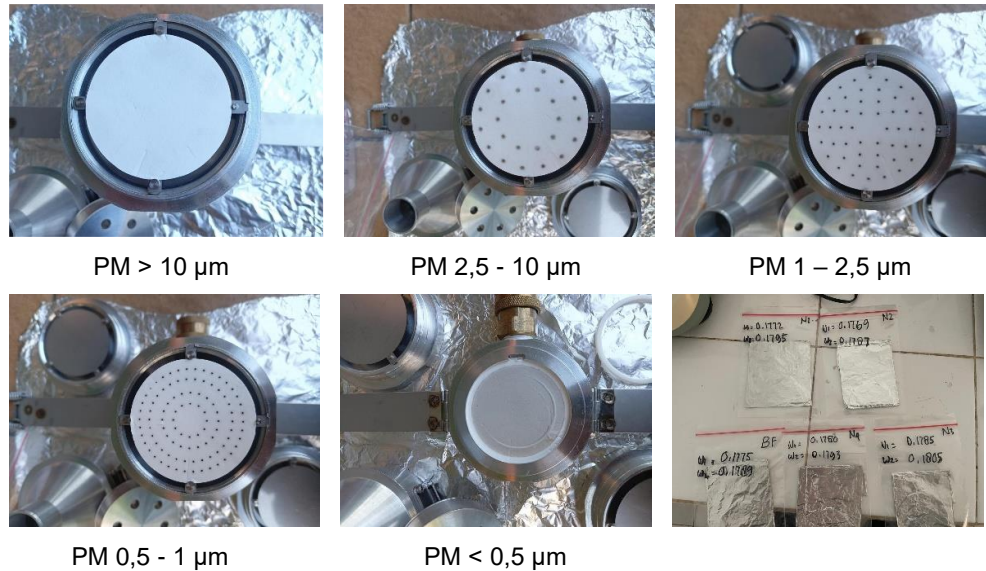
- Abidin, J., & Hasibuan, F. A. (2019). Penyebaran Konsentrasi Polutan Dengan Pemodelan Dispersi Gauss Menggunakan Matlab. *Jurnal Pendidikan Fisika Dan Teknologi*, 5(2), 227–234. <https://doi.org/10.29303/jpft.v5i2.1341>
- Alimin, S. A., & Wahyuni, N. (2021). KUALITAS UDARA DALAM RUANGAN SEKOLAH (PM2.5, PM10, CO₂, DAN HCHO) DAN RISIKO KESEHATAN PADA SISWA DI KOTA SERANG. *Jurnal JOUBAHS*, 1(2), 141–155.
- Arwini, N. P. D. (2019). DAMPAK PENCEMARAN UDARA TERHADAP KUALITAS UDARA DI PROVINSI BALI. *Jurnal Ilmiah Vastuwidya*, 2(2).
- Aryanta, W. R., & Maharani, S. E. (2023). Dampak Buruk Polusi Udara Bagi Kesehatan Dan Cara Meminimalkan Risikonya. *JURNALECOCENTRISM*, 3(2).
- As'ari, R. M. (2022). Hubungan Kadar PM2.5 dan PM10 Terhadap Keluhan Dyspnea Warga Desa Lakardowo, Kabupaten Mojokerto, Provinsi Jawa Timur. *Environmental Pollution Journal*, 2(2), 419–425. <https://ecotonjournal.id/index.php/epj>
- Fandani, S. T., Sulistiyowati, H., & Setiawan, R. (2019). Tingkat Pencemaran Udara di Desa Silo dan Pace, Kecamatan Silo, Kabupaten Jember dengan Menggunakan Lichen Sebagai Bioindikator. <http://limnologi.lipi.go.id/katalog/index.php/searchkat>
- Febri Juita Anggraini, Annisa Shalsabila, & Zuli Rodhiyah. (2023). Sebaran Particulate Matter (PM10, PM2,5, PM1, PM0,1) di SMP Negeri 1 Kota Jambi Menggunakan Model CFD (Computational Fluid Dynamics). *INSOLOGI: Jurnal Sains Dan Teknologi*, 2(4), 690–702. <https://doi.org/10.55123/insologi.v2i4.2269>
- Furuuchi, M., Eryu, K., Nagura, M., Hata, M., Kato, T., Tajima, N., Sekiguchi, K., Ehara, K., Seto, T., & Otani, Y. (2010). Development and performance evaluation of air sampler with inertial filter for nanoparticle sampling. *Aerosol and Air Quality Research*, 10(2), 185–192. <https://doi.org/10.4209/aaqr.2009.11.0070>
- Ganguly, R., Sharma, D., & Kumar, P. (2019). Trend analysis of observational PM10 concentrations in Shimla city, India. *Sustainable Cities and Society*, 51. <https://doi.org/10.1016/j.scs.2019.101719>
- Hamid, S. S., & Hussain. (2021). KEPEKATAN PARTIKEL TERNAFAS (PM 10) DALAM PERSEKITARAN UDARA DI SEKOLAH SEMENANJUNG MALAYSIA. In *UiTM Cawangan N. Sembilan, Kampus Seremban*.
- Handika, R. A., Hata, M., & Furuuchi, M. (2023). Fine and nano particles in the school environments and the respiratory deposition doses to schoolchildren in a Middle City of Jambi, Indonesia. *IOP Conference Series: Earth and Environmental Science*, 1199(1). <https://doi.org/10.1088/1755-1315/1199/1/012026>
- Hata, M., Thongyen, T., Bao, L., Hoshino, A., Otani, Y., Ikeda, T., & Furuuchi, M. (2013). Development of a high-volume air sampler for nanoparticles. *Environmental Sciences: Processes and Impacts*, 15(2), 454–462. <https://doi.org/10.1039/c2em30392b>
- Hu, Y., Wu, M., Li, Y., & Liu, X. (2021). Influence of PM 1 exposure on total and cause-specific respiratory diseases: a systematic review and meta-analysis. *Environmental Science and Pollution Research*. <https://doi.org/10.1007/s11356-021-16536-0/Published>
- Ibrahim, Z., Boekoesoe, L., Lalu, A. S., Masyarakat, J. K., Olahraga, F., Kesehatan, D., & Gorontalo, U. N. (2022). Identifikasi Kualitas Udara Ambien Disekitar

- Wilayah Kota Gorontalo Identification of Ambient Air Quality Around the City of Gorontalo. *Public Health and Surveillance Review*, 1(1), 2022. <https://doi.org/10.56796/phsr.v1i1.16414>
- Jumadil, J. (2023). Analisis Kualitas Udara (Nilai Parameter PM2,5 dan Karbon Monoksida) di Sekitar Kampus Universitas Bosowa Makassar. *Jurnal Ilmiah Ecosystem*, 23(1), 164–171. <https://doi.org/10.35965/eco.v23i1.2514>
- Khaery, M., Harditio Pratama, A., Wipradnyana, P., & Agung Ngurah Gunawan, A. (2020). *Perancangan Alat Ukur Tekanan Udara Menggunakan Sensor Barometric Pressure 280 (BMP280) Berbasis Arduino Uno*.
- Kim, D. H., Jo, Y. M., & Son, Y. S. (2024). Effects of surrounding environment and student activity on the concentration of particulate matter in elementary school classrooms in South Korea. *Atmospheric Pollution Research*, 15(5). <https://doi.org/10.1016/j.apr.2024.102090>
- Kolibu, H. S., & Suoth, V. A. (2019). Kajian Eksperimen Pengaruh Lingkungan Panas Terhadap Suhu Kulit Manusia Menggunakan Fast Response Temperature Probe PS-2135 dan Temperature Array PS-215. *Ejournal.Unsrat.Ac.Id*, 8(2), 67–70.
- Kusmiyati, K., Kambuno, N. T., Selasa, P., & Waangsir, F. W. F. (2022). Pengaruh Paparan Pencemar Udara Terhadap Stres Oksidatif: Sistematik Review. *Jurnal Ilmu Lingkungan*, 20(3), 628–636. <https://doi.org/10.14710/jil.20.3.628-636>
- Lestari, P. W. (2021). *Modul pengolahan dan analisis data menggunakan SPSS*. Universitas Binawan.
- Marval, J., & Tronville, P. (2022). Ultrafine particles: A review about their health effects, presence, generation, and measurement in indoor environments. *Building and Environment*, 216. <https://doi.org/10.1016/j.buildenv.2022.108992>
- Menteri Negara Lingkungan Hidup. (2010). *Peraturan Menteri Negara Lingkungan Hidup Nomor 12 Tahun 2010 tentang Pelaksanaan Pengendalian Pencemaran Udara di Daerah*. Republik Indonesia.
- Nasrum, A. (2018). *Uji Normalitas untuk Penelitian*. Jayapangus Press. <http://jayapanguspress.org>
- Pratama, A., & Sofyan, D. A. (2020). ANALISIS DISPERSI PENCEMAR UDARA PM10 DI KOTA BANDUNG MENGGUNAKAN WRFCHM DATA ASIMILASI PM10 AIR POLLUTION DISPERSION ANALYSIS IN BANDUNG CITY USING WRFCHM DATA ASSIMILATION. In *Jurnal Teknik Lingkungan* (Vol. 26).
- Pratiwi, B. P., Handayani, A. S., & Sarjana. (2020). Pengukuran Kinerja Sistem Kualitas Udara Dengan Teknologi WSN Menggunakan Confusion Matrix. *JURNAL INFORMATIKA UPGRIS*, 6(2).
- Putri, R. M., Amin, M., Phairuang, W., Furuuchi, M., & Hata, M. (2023). Size Segregated Carbonaceous Aerosol Down to Ultrafine Particle in Medan City, Indonesia. *IOP Conference Series: Earth and Environmental Science*, 1199(1). <https://doi.org/10.1088/1755-1315/1199/1/012023>
- Ridayanti, D. D. P. (2022). Risiko Paparan Debu/Particulate Matter (PM2,5) Terhadap Kesehatan Masyarakat (Studi Kasus: Tempat Pembuatan Batu Bata di Desa Kaloran, Kecamatan Ngronggot, Nganjuk). *Jurnal Penelitian Kesehatan Suara Forikes*, 13(1).
- Sapienza, S., Tedeschi, V., Apicella, B., Pannaccione, A., Russo, C., Sisalli, M. J., Magliocca, G., Loffredo, S., & Secondo, A. (2024). Ultrafine particulate matter pollution and dysfunction of endoplasmic reticulum Ca²⁺ store: A pathomechanism shared with amyotrophic lateral sclerosis motor neurons?

- Ecotoxicology and Environmental Safety*, 273.
<https://doi.org/10.1016/j.ecoenv.2024.116104>
- Sasmita, A., Reza, M., Elystia, S., & Syarah Adriana. (2022). ANALISIS PENGARUH KECEPATAN DAN VOLUME KENDARAAN TERHADAP EMISI DAN KONSENTRASI KARBON MONOKSIDA DI JALAN JENDERAL SUDIRMAN, KOTA PEKANBARU. *Jurnal Teknik Sipil*, 16(4), 269–279.
<https://doi.org/10.24002/jts.v16i4.5452>
- Schwarz, M., Schneider, A., Cyrys, J., Bastian, S., Breitner, S., & Peters, A. (2023). Impact of ultrafine particles and total particle number concentration on five cause-specific hospital admission endpoints in three German cities. *Environment International*, 178. <https://doi.org/10.1016/j.envint.2023.108032>
- Serlina, Y. (2020). Pengaruh Faktor Meteorologi Terhadap Konsentrasi NO 2 di Udara Ambien (Studi Kasus Bundaran Hotel Indonesia DKI Jakarta). *Serambi Engineering*, V(3).
- Setyowati, E. R., Annisa, N., Riduan, R., & Prasetya, H. (2020). KONSENTRASI PARTIKULAT MATTER (PM10) DAN SULFUR DIOKSIDA (SO2) PADA RUAS JALAN KUIN UTARA DAN KUIN SELATAN KOTA BANJARMASIN.
- Sobrinho, O. M., Martins, L. D., Pedruzzi, R., Vizuete, W., & Albuquerque, T. T. de A. (2024). From mining to fire outbreaks: The relative impact of pollutants sources on air quality in the metropolitan area of Belo Horizonte. *Atmospheric Pollution Research*, 15(6). <https://doi.org/10.1016/j.apr.2024.102118>
- Sousa, G., Teixeira, J., Azevedo, R., Almeida, A., Delerue-Matos, C., Morais, S., Wang, X., Rodrigues, F., Freitas, M., & Oliveira, M. (2024). Gravimetric, morphological, and chemical characterization of fine and ultrafine particulate matter inside fire stations. *Building and Environment*, 111403.
<https://doi.org/10.1016/j.buildenv.2024.111403>
- Sukmawati, P. D., & Warisaura, A. D. (2023). Analisis Pengaruh Faktor Meteorologi Terhadap Konsentrasi Gas Monoksida dan Particulate Matter di Jalan Gejayan, Yogyakarta. *Jurnal Serambi Engineering*, VII(3).
- Tama, M. A. D., Putro, R. K. H., Yuliana, N., & Rismayanti, A. (2023). Analisis Model Dispersi Emisi Udara(SO₂, NO₂, dan TSP) Menggunakan Model Dari Software AERMOD Dengan Sumber Emisi Point Source. *Environmental Science and Engineering Conference*, 4(1), 160–167. <http://esec.upnvjt.com/>
- Tella, A., Balogun, A. L., Adebisi, N., & Abdullah, S. (2021). Spatial assessment of PM10 hotspots using Random Forest, K-Nearest Neighbour and Naïve Bayes. *Atmospheric Pollution Research*, 12(10).
<https://doi.org/10.1016/j.apr.2021.101202>
- Utama, Y. A. K., Widianto, Y., Sardjono, T. A., & Kusuma, H. (2019). PERBANDINGAN KUALITAS ANTAR SENSOR KELEMBABAN UDARA DENGAN MENGGUNAKAN ARDUINO UNO. *Publikasiilmiah.Unwahas.Ac.Id*.
- Wiranata, A. D., Soleman, S., Irwansyah, I., Sudaryana, I. K., & Rizal, R. (2023). KLASIFIKASI DATA MINING UNTUK MENENTUKAN KUALITAS UDARA DI PROVINSI DKI JAKARTA MENGGUNAKAN ALGORITMA K-NEAREST NEIGHBORS (K-NN). *Infotech: Journal of Technology Information*, 9(1), 95–100. <https://doi.org/10.37365/jti.v9i1.164>
- Zhang, J., Chen, Z., Shan, D., Wu, Y., Zhao, Y., Li, C., Shu, Y., Linghu, X., & Wang, B. (2024). Adverse effects of exposure to fine particles and ultrafine particles in the environment on different organs of organisms. In *Journal of Environmental Sciences (China)* (Vol. 135, pp. 449–473). Chinese Academy of Sciences.
<https://doi.org/10.1016/j.jes.2022.08.013>

LAMPIRAN

Lampiran 1. Dokumentasi Kegiatan**Lampiran 1.1. Dokumentasi di Laboratorium****Lampiran 1.2. Dokumentasi di Lapangan**

Lampiran 1.3. Dokumentasi Sampel

Lampiran 2. Olah data Excel

Data Meteorologi						
No	Waktu	Kec. Angin (m/s)	Temperatur (K)	Kelembaban Udara (%)	Tekanan Udara (mmHg)	Arah Mata Angin
1	8.00-8.03	2	302.7	65	760.65	BD
2	8.03-8.06	2	303.9	63	760.80	B
3	8.06-8.09	2	304.1	66	760.80	BL
4	8.09-8.12	2	304.5	69	760.80	S
5	8.12-8.15	2	304.7	65	760.73	B
6	8.15-8.18	2	274.7	67	760.80	BL
7	8.18-8.21	2	305.1	63	760.95	BD
8	8.21-8.24	2	305.7	59	761.03	BD
9	8.24-8.27	2	306.1	57	760.95	B
10	8.27-8.30	3	306.9	57	761.03	BD
11	8.30-8.33	2	308.1	55	761.03	BL
12	8.33-8.36	3	309.4	57	761.03	B
13	8.36-8.39	3	310.4	49	761.03	BL
14	8.39-8.42	3	310.9	48	761.03	BD
15	8.42-8.45	3	311.6	41	760.80	BD
16	8.45-8.48	3	311.5	39	760.88	B
17	8.48-8.51	2	311.5	42	760.95	BD
18	8.51-8.54	3	310.9	41	760.88	B
19	8.54-8.57	3	310.7	41	760.95	BL
20	8.57-9.00	3	310.6	48	760.88	BL
1	9.00-9.03	3	310.4	49	761.03	B
2	9.03-9.06	3	310	49	760.80	U
3	9.06-9.09	3	309	50	760.80	U
4	9.09-9.12	3	309.2	51	760.95	S
5	9.12-9.15	3	308.9	48	760.88	TG
6	9.15-9.18	3	308.6	46	760.88	TL
7	9.18-9.21	3	308.5	47	760.80	TL
8	9.21-9.24	3	308.5	46	760.80	TL
9	9.24-9.27	3	308.5	45	760.80	TG
10	9.27-9.30	3	308.5	45	760.73	U
11	9.30-9.33	3	308.6	45	760.80	U
12	9.33-9.36	3	308.9	45	760.80	TL
13	9.36-9.39	3	308.9	45	760.88	TL
14	9.39-9.42	3	308.9	46	760.73	T
15	9.42-9.45	3	308.9	45	760.58	TL
16	9.45-9.48	3	308.9	45	760.73	S
17	9.48-9.51	2	308.9	47	760.65	U
18	9.51-9.54	3	308.9	47	760.80	TL
19	9.54-9.57	3	308.7	47	760.58	T
20	9.57-10.00	3	308.4	50	760.58	U

Kecepatan Kendaraan (KM/JAM)				
No	Waktu	Sepeda Motor	Kendaraan Ringan	Kendaraan Berat
1	8.00-9.00	33	28	19
2		32	34	22
3		32	19	20
4		34	24	17
5		28	27	18
6		22	22	22
7		36	25	18
8		33	24	20
9		32	27	20
10		22	22	16
11		28	24	18
12		32	36	26
13		22	22	16
14		32	27	22
15		26	28	17
16		28	21	26
17		33	22	22
18		34	25	17
19		33	28	24
20		32	22	22

Jumlah Kendaraan			
No	Waktu (WIB)	Jenis Kendaraan	
		Kendaraan bermotor	Kendaraan lengkap
1	8.00 - 9.00	9741	3570
2	9.00 - 10.00	8118	2842
3	10.00 - 11.00	7465	2457
4	11.00 - 12.00	6813	2772
5	12.00 - 13.00	4554	2718
6	13.00 - 14.00	5517	2637
7	14.00 - 15.00	4257	2313
8	15.00 - 16.00	3744	3186
TOTAL		50209	22495
			1677

NO	UKURAN PM	W1 (g)	W2 (g)
1	> 10 µm	0.1731	0.1752
2	2.5 - 10 µm	0.1842	0.1865
3	1 - 2.5 µm	0.1831	0.1845
4	0.5 - 1 µm	0.1837	0.1854
5	< 0.5 µm	0.1837	0.1862

Laju Alir saat dinyalakan	0.04	m³/menit
Laju Alir saat dimatikan	0.039	m³/menit

Laju Alir Volume Terkoreksi		
$Q_s = Q_0 \times \left[\frac{T_s \times P_0}{T_0 \times P_s} \right]^{1/2}$		
Keterangan		
Q_s	: Laju alir volume dikoreksi pada kondisi standar (Nm^3/menit)	
Q_0	: Laju alir volume uji (m^3/menit)	
T_s	: Temperatur Standar, 298 K	
T_0	: Temperatur rata-rata aktual (273 + Tukur) dimana Q_0 ditentukan	
P_s	: Tekanan Barometrik Standar, yaitu 101.3 kPa (760 mmHg)	
P_0	: Tekanan Barometrik rata-rata aktual dimana Q_0 ditentukan	

Diketahui

$$Q_0 \text{ nyala} = 0.04 \text{ m}^3/\text{menit} \quad Q_0 \text{ mati} = 0.039 \text{ m}^3/\text{menit}$$

$$T_s = 298 \text{ K} \quad T_0 = 302.7 \text{ K} \quad T_0 2 = 306.5$$

$$P_s = 760 \text{ mmHg} \quad P_0 = 760.65 \text{ mmHg} \quad P_0 2 = 757.725$$

Saat Dinyalakan

$$Q_{s1} = 0.04 \times \frac{298}{302.7} \times \frac{760.65}{760} ^{1/2}$$

$$Q_{s1} = 0.040 \text{ Nm}^3/\text{menit}$$

Saat Dimatikan

$$Q_{s2} = 0.039 \times \frac{298}{306.5} \times \frac{757.725}{760} ^{1/2}$$

$$Q_{s2} = 0.038 \text{ Nm}^3/\text{menit}$$

Menghitung Banyaknya Volume		
$V_{std} = \frac{\sum_{s=1}^n Q_s \times t}{n}$		
Keterangan :		
V_{std}	: Volume contoh uji udara dalam keadaan standar (Nm^3)	
Q_s	: Laju alir volume dikoreksi pada kondisi standar ke-s (m^3/menit)	
n	: Jumlah pekatatan laju reaksi	

Diketahui

$$Q_{s1} = 0.040 \text{ Nm}^3/\text{menit}$$

$$Q_{s2} = 0.038 \text{ Nm}^3/\text{menit}$$

$$n = 2$$

$$t = 480 \text{ Menit}$$

$$V_{std} = \frac{0.0397}{2} + \frac{0.0384}{2} \times 480$$

$$V_{std} = 18.74 \text{ Nm}^3$$

Konsentrasi PM >10 µm

$$C = \frac{W2 - W1}{Vstd} \times 10^6$$

Keterangan :

- C : Konsentrasi massa partikel tersuspensi ($\mu\text{g}/\text{Nm}^3$)
 W1 : Berat filter awal (g)
 W2 : Berat Filter akhir (g)
 Vstd : Volume contoh uji udara dalam keadaan standar (Nm^3)
 10^6 : Konversi Gram (g) ke mikrogram (μg)

Diketahui	W1 =	0.1731 g				
	W2 =	0.1752 g				
	Vstd =	18.737 Nm^3				

$$\begin{array}{ccccccccc} C & = & 0.1752 & - & 0.1731 & & & \\ & & & & 18.737 & & & \\ C & = & & & & & & \\ & & & & 112.08 \mu\text{g}/\text{Nm}^3 & & & \end{array} \times 10^6$$

Konsentrasi PM 2,5 - 10 µm

$$C = \frac{W2 - W1}{Vstd} \times 10^6$$

Keterangan :

- C : Konsentrasi massa partikel tersuspensi ($\mu\text{g}/\text{Nm}^3$)
 W1 : Berat filter awal (g)
 W2 : Berat Filter akhir (g)
 Vstd : Volume contoh uji udara dalam keadaan standar (Nm^3)
 10^6 : Konversi Gram (g) ke mikrogram (μg)

Diketahui	W1 =	0.1842 g				
	W2 =	0.1865 g				
	Vstd =	18.737 Nm^3				

$$\begin{array}{ccccccccc} C & = & 0.1865 & - & 0.1842 & & & \\ & & & & 18.737 & & & \\ C & = & & & & & & \\ & & & & 122.75 \mu\text{g}/\text{Nm}^3 & & & \end{array} \times 10^6$$

Konsentrasi PM 1 - 2,5 µm

$$C = \frac{W2 - W1}{Vstd} \times 10^6$$

Keterangan :

- C : Konsentrasi massa partikel tersuspensi ($\mu\text{g}/\text{Nm}^3$)
 W1 : Berat filter awal (g)
 W2 : Berat Filter akhir (g)
 Vstd : Volume contoh uji udara dalam keadaan standar (Nm^3)
 10^6 : Konversi Gram (g) ke mikrogram (μg)

Diketahui	W1 =	0.1831 g				
	W2 =	0.1845 g				
	Vstd =	18.737 Nm^3				

C	=	0.1845	-	0.1831	\times	10^6
		18.737				
C	=	74.72 $\mu\text{g}/\text{Nm}^3$				

Konsentrasi PM 0,5 - 1 µm

$$C = \frac{W2 - W1}{Vstd} \times 10^6$$

Keterangan :

- C : Konsentrasi massa partikel tersuspensi ($\mu\text{g}/\text{Nm}^3$)
 W1 : Berat filter awal (g)
 W2 : Berat Filter akhir (g)
 Vstd : Volume contoh uji udara dalam keadaan standar (Nm^3)
 10^6 : Konversi Gram (g) ke mikrogram (μg)

Diketahui	W1 =	0.1837 g				
	W2 =	0.1854 g				
	Vstd =	18.737 Nm^3				

C	=	0.1854	-	0.1837	\times	10^6
		18.737				
C	=	90.73 $\mu\text{g}/\text{Nm}^3$				

Konsentrasi PM <0.5 µm

$$C = \frac{W2 - W1}{Vstd} \times 10^6$$

Keterangan :

- C : Konsentrasi massa partikel tersuspensi ($\mu\text{g}/\text{Nm}^3$)
 W1 : Berat filter awal (g)
 W2 : Berat Filter akhir (g)
 Vstd : Volume contoh uji udara dalam keadaan standar (Nm^3)
 10^6 : Konversi Gram (g) ke mikrogram (μg)

Diketahui	W1 =	0.1837 g				
	W2 =	0.1862 g				
	Vstd =	18.737 Nm^3				

C	=	0.1862	-	0.1837	\times	10^6
		18.737				
C	=	133.43 $\mu\text{g}/\text{Nm}^3$				

NO	Rekapitulasi Konsentrasi PM			Nilai pendekatan konsentrasi PM untuk waktu pengukuran 24 jam (Konversi Canter)						
	Ukuran PM	Konsentrasi								
1	>10 µm	112.08								
2	2.5 - 10 µm	122.75								
3	1 - 2.5 µm	74.72								
4	0.5 - 1 µm	90.73								
5	< 0.5 µm	133.43								

Konversi ke jenis PM (8 Jam)									
No	Jenis PM	Konsentrasi							
1	TSP	533.72							
2	PM10	421.64							
3	PM2,5	298.88							

$$C_1 = C_2 \cdot \frac{t_2}{t_1}^p \quad (6)$$

dimana,

C_1 = Konsentrasi udara dengan lama pengukuran t_1 ($\mu\text{g}/\text{m}^3$),

C_2 = Konsentrasi udara dengan lama pengukuran t_2 ($\mu\text{g}/\text{m}^3$),

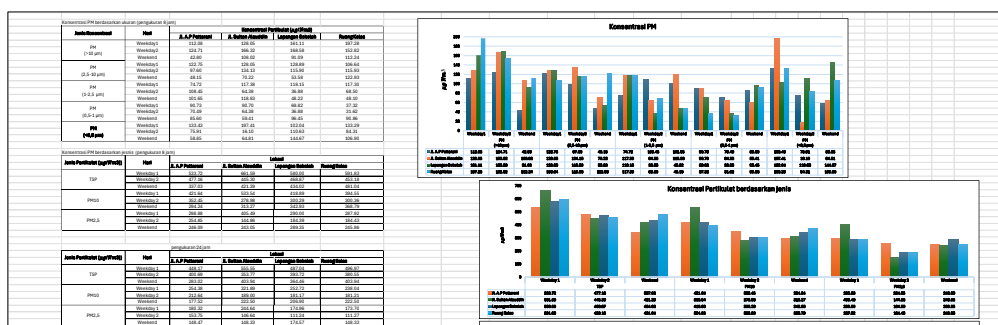
t_1 = Lama pengukuran selama 24 jam,

t_2 = Lama pengukuran saat dilakukan pengambilan sampel 1 (jam),

p = Faktor konversi dengan nilai 0,159.

Konversi Canter Pengukuran 24 Jam (TSP)

$$\begin{aligned}
 &= C_2 \times \left(\frac{t_2}{t_1} \right)^p \\
 &= 533.7152 \times \left(\frac{8}{24} \right)^{0.159} \\
 &= 533.7152 \times 0.839726 \\
 &= 448.17 \mu\text{g}/\text{m}^3
 \end{aligned}$$



Lampiran 3 Uji Statistik SPSS

Lampiran 3.1 Uji Perbandingan hari kerja dan hari libur

Tests of Normality						
	Kolmogorov-Smirnov ^a			Shapiro-Wilk		
	Statistic	df	Sig.	Statistic	df	Sig.
Hari Kerja 1_Titik 1	.188	5	.200*	.959	5	.801
Hari Kerja 2_Titik 1	.207	5	.200*	.947	5	.714
Hari Libur_Titik 1	.233	5	.200*	.908	5	.457
Hari Kerja 1_Titik 2	.343	5	.055	.867	5	.256
Hari Kerja 2_Titik 2	.259	5	.200*	.936	5	.639
Hari Libur_Titik 2	.297	5	.170	.844	5	.177
Hari Kerja 1_Titik 3	.151	5	.200*	.995	5	.994
Hari Kerja 2_Titik 3	.242	5	.200*	.885	5	.332
Hari Libur_Titik 3	.203	5	.200*	.916	5	.503
Hari Kerja 1_Titik 4	.219	5	.200*	.966	5	.850
Hari Kerja 2_Titik 4	.155	5	.200*	.994	5	.990
Hari Libur_Titik 4	.243	5	.200*	.879	5	.305

*. This is a lower bound of the true significance.

a. Lilliefors Significance Correction

Paired Samples Test									
		Paired Differences							
		Mean	Std. Deviation	Std. Error Mean	95% Confidence Interval of the Difference				
					Lower	Upper			
Pair 1	Hari Kerja 1_Titik 1 - Hari Kerja 2_Titik 1	11.31000	35.38495	15.82463	-32.62622	55.24622	.715	4	.514
Pair 2	Hari Kerja 1_Titik 1 - Hari Libur_Titik 1	39.33200	47.28521	21.14659	-19.38035	98.04435	1.860	4	.136
Pair 3	Hari Kerja 2_Titik 1 - Hari Libur_Titik 1	28.02200	38.05911	17.02055	-19.23463	75.27863	1.646	4	.175
Pair 4	Hari Kerja 1_Titik 2 - Hari Kerja 2_Titik 2	43.25600	84.44112	37.76322	-61.59150	148.10350	1.145	4	.316
Pair 5	Hari Kerja 1_Titik 2 - Hari Libur_Titik 2	48.06000	51.86670	23.19549	-16.34101	112.46101	2.072	4	.107
Pair 6	Hari Kerja 2_Titik 2 - Hari Libur_Titik 2	4.80400	56.41399	25.22910	-65.24322	74.85122	.190	4	.858
Pair 7	Hari Kerja 1_Titik 3 - Hari Kerja 2_Titik 3	22.22800	37.14083	16.60989	-23.88843	68.34443	1.338	4	.252
Pair 8	Hari Kerja 1_Titik 3 - Hari Libur_Titik 3	29.20000	58.58301	26.19912	-43.54041	101.94041	1.115	4	.327
Pair 9	Hari Kerja 2_Titik 3 - Hari Libur_Titik 3	6.97200	60.16922	26.90849	-67.73796	81.68196	.259	4	.808
Pair 10	Hari Kerja 1_Titik 4 - Hari Kerja 2_Titik 4	27.73000	27.52817	12.31097	-6.45074	61.91074	2.252	4	.087
Pair 11	Hari Kerja 1_Titik 4 - Hari Libur_Titik 4	22.16000	57.86502	25.87802	-49.68891	94.00891	.856	4	.440
Pair 12	Hari Kerja 2_Titik 4 - Hari Libur_Titik 4	-5.57000	38.65378	17.28649	-53.56500	42.42500	-.322	4	.763

Lampiran 3.2 Perbandingan volume kendaraan pada hari kerja dan hari libur (*non-parametrik 2 Related Samples*)

Test Statistics^a

	weekday 2 motor - weekday 1 motor	weekend motor - weekday 1 motor	weekend motor - weekday 2 motor	weekday 2 k.ringan - weekday 1 k.ringan	weekend k.ringan - weekday 1 k.ringan	weekend k.ringan - weekday 2 k.ringan	weekday 2 k. berat - weekday 1 k. berat	weekend k. berat - weekday 1 k. berat	weekend k. berat - weekday 2 k. berat
Z	-1.363 ^b	-2.201 ^b	-2.201 ^b	-1.992 ^b	-2.201 ^b	-1.992 ^b	-.734 ^b	-2.201 ^b	-2.201 ^b
Asymp. Sig. (2-tailed)	.173	.028	.028	.046	.028	.046	.463	.028	.028

a. Wilcoxon Signed Ranks Test

b. Based on positive ranks.

Lampiran 3.3 Perbandingan tingkat konsentrasi PM antar titik pengukuran

Lampiran 3.3.1 Perbandingan antar titik untuk konsentrasi PM > 10 µm

Ranks

	Lokasi	N	Mean Rank
Konsentrasi	1.0	3	3.67
	2.0	3	6.67
	3.0	3	7.33
	4.0	3	8.33
	Total	12	

Test Statistics^{a,b}

Konsentrasi	
Kruskal-Wallis H	2.795
df	3
Asymp. Sig.	.424

a. Kruskal Wallis Test

b. Grouping Variable:
Lokasi

Lampiran 3.3.2 Perbandingan antar titik untuk konsentrasi PM 2,5 - 10 µm

Ranks

	Lokasi	N	Mean Rank
Konsentrasi	1.0	3	4.33
	2.0	3	8.33
	3.0	3	6.33
	4.0	3	7.00
	Total	12	

Test Statistics^{a,b}

	Konsentrasi
Kruskal-Wallis H	1.923
df	3
Asymp. Sig.	.589

a. Kruskal Wallis Test

b. Grouping Variable:
Lokasi

Lampiran 3.3.3 Perbandingan antar titik untuk konsentrasi PM 1 – 2,5 µm

Ranks

	Lokasi	N	Mean Rank
Konsentrasi	1	3	7.00
	2	3	8.67
	3	3	5.00
	4	3	5.33
	Total	12	

Test Statistics^{a,b}

	Konsentrasi
Kruskal-Wallis H	1.974
df	3
Asymp. Sig.	.578

a. Kruskal Wallis Test

b. Grouping Variable:
Lokasi

Lampiran 3.3.4 Perbandingan antar titik untuk konsentrasi PM 0,5 - 1 µm

Ranks

	Lokasi	N	Mean Rank
Konsentrasi	1	3	8.33
	2	3	6.00
	3	3	6.67
	4	3	5.00
	Total	12	

Test Statistics^{a,b}

Konsentrasi

Kruskal-Wallis H	1.359
df	3
Asymp. Sig.	.715

a. Kruskal Wallis Test

b. Grouping Variable:
Lokasi

Lampiran 3.3.5 Perbandingan antar titik untuk konsentrasi PM > 0,5 µm

Ranks

	Lokasi	N	Mean Rank
Konsentrasi	1	3	5.33
	2	3	5.33
	3	3	8.33
	4	3	7.00
	Total	12	

Test Statistics^{a,b}

Konsentrasi

Kruskal-Wallis H	1.462
df	3
Asymp. Sig.	.691

a. Kruskal Wallis Test

b. Grouping Variable:
Lokasi

Lampiran 3.3.6 Perbandingan antar titik untuk konsentrasi TSP

Ranks

	Lokasi	N	Mean Rank
Konsentrasi	1	3	5.67
	2	3	6.00
	3	3	6.33
	4	3	8.00
	Total	12	

Test Statistics^{a,b}

	Konsentrasi
Kruskal-Wallis H	.744
df	3
Asymp. Sig.	.863

a. Kruskal Wallis Test

b. Grouping Variable:
Lokasi

Lampiran 3.3.7 Perbandingan antar titik untuk konsentrasi PM₁₀

Ranks

	Lokasi	N	Mean Rank
Konsentrasi	1	3	6.67
	2	3	6.00
	3	3	6.33
	4	3	7.00
	Total	12	

Test Statistics^{a,b}

	Konsentrasi
Kruskal-Wallis H	.128
df	3
Asymp. Sig.	.988

a. Kruskal Wallis Test

b. Grouping Variable:
Lokasi

Lampiran 3.3.8 Perbandingan antar titik untuk konsentrasi PM_{2,5}

Ranks

	Lokasi	N	Mean Rank
Konsentrasi	1	3	8.00
	2	3	5.67
	3	3	7.00
	4	3	5.33
	Total	12	

Test Statistics^{a,b}

Konsentrasi	
Kruskal-Wallis H	1.051
df	3
Asymp. Sig.	.789

a. Kruskal Wallis Test

b. Grouping Variable:
Lokasi

Uji Pos-hoc dengan Mann-Whitney

Lokasi	Signifikansi							
	PM (>10 µm)	PM (2,5-10 µm)	PM (1-2,5 µm)	PM (0,5-1 µm)	PM (<0,5 µm)	TSP	PM ₁₀	PM _{2,5}
A.P Pettarani - Sultan Alauddin	0.4	0.4	0.7	0.4	1	1	1	0.7
A.P Pettarani - Lapangan	0.4	0.7	0.7	0.7	0.4	1	1	1
A.P Pettarani - Ruang Kelas	0.2	0.4	0.7	0.7	0.7	0.7	1	0.4
Sultan Alauddin - Ruang Kelas	1	0.7	0.4	1	0.7	1	1	1
Sultan Alauddin - Lapangan	0.7	0.7	0.4	0.7	0.7	0.7	1	1
Lapangan - Ruang Kelas	1	1	1	0.7	0.7	0.7	1	0.7

Lampiran 3.4 Hubungan volume kendaraan dan konsentasi partikulat (pengukuran di Jl. A.P Pettarani)

		Correlations						
		Kons.TSP	vol. sepeda motor	vol. kend. Ringan	vol.kend berat	kec. sepeda motor	kec. kend. Ringan	kec.kend berat
Spearman's rho	Kons.TSP	Correlation Coefficient	1.000	1.000**	1.000**	1.000**	-1.000**	-1.000**
		Sig. (2-tailed)
		N	3	3	3	3	3	3
vol. sepeda motor		Correlation Coefficient	1.000**	1.000	1.000**	1.000**	-1.000**	-1.000**
		Sig. (2-tailed)
		N	3	3	3	3	3	3
vol. kend. Ringan		Correlation Coefficient	1.000**	1.000**	1.000	1.000**	-1.000**	-1.000**
		Sig. (2-tailed)
		N	3	3	3	3	3	3
vol.kend berat		Correlation Coefficient	1.000**	1.000**	1.000**	1.000	-1.000**	-1.000**
		Sig. (2-tailed)
		N	3	3	3	3	3	3
kec. sepeda motor		Correlation Coefficient	-1.000**	-1.000**	-1.000**	-1.000**	1.000	1.000**
		Sig. (2-tailed)
		N	3	3	3	3	3	3
kec. kend. Ringan		Correlation Coefficient	-1.000**	-1.000**	-1.000**	-1.000**	1.000**	1.000**
		Sig. (2-tailed)
		N	3	3	3	3	3	3
kec.kend berat		Correlation Coefficient	-1.000**	-1.000**	-1.000**	-1.000**	1.000**	1.000**
		Sig. (2-tailed)
		N	3	3	3	3	3	3

**, Correlation is significant at the 0.01 level (2-tailed).

Lampiran 3.5 Hubungan volume kendaraan dan konsentasi partikulat (pengukuran di Jl Sultan Alauddin)

		Correlations							
		Kons.TSP	vol. sepeda motor	vol. kend. Ringan	vol.kend berat	kec. sepeda motor	kec. kend. Ringan	kec.kend berat	
Spearman's rho	Kons.TSP	Correlation Coefficient	1.000	1.000**	1.000**	1.000**	.500	-1.000**	-1.000**
		Sig. (2-tailed)667	.	.
		N	3	3	3	3	3	3	3
vol. sepeda motor		Correlation Coefficient	1.000**	1.000	1.000**	1.000**	.500	-1.000**	-1.000**
		Sig. (2-tailed)667	.	.
		N	3	3	3	3	3	3	3
vol. kend. Ringan		Correlation Coefficient	1.000**	1.000**	1.000	1.000**	.500	-1.000**	-1.000**
		Sig. (2-tailed)667	.	.
		N	3	3	3	3	3	3	3
vol.kend berat		Correlation Coefficient	1.000**	1.000**	1.000**	1.000	.500	-1.000**	-1.000**
		Sig. (2-tailed)667	.	.
		N	3	3	3	3	3	3	3
kec. sepeda motor		Correlation Coefficient	.500	.500	.500	.500	1.000	-.500	-.500
		Sig. (2-tailed)	.667	.667	.667	.667	.	.667	.667
		N	3	3	3	3	3	3	3
kec. kend. Ringan		Correlation Coefficient	-1.000**	-1.000**	-1.000**	-1.000**	-.500	1.000	1.000**
		Sig. (2-tailed)667	.	.
		N	3	3	3	3	3	3	3
kec.kend berat		Correlation Coefficient	-1.000**	-1.000**	-1.000**	-1.000**	-.500	1.000**	1.000
		Sig. (2-tailed)667	.	.
		N	3	3	3	3	3	3	3

**, Correlation is significant at the 0.01 level (2-tailed).

Lampiran 3.6 Hubungan volume kendaraan di Jl. AP Pettarani dan konsentasi partikulat matter di lapangan

		Correlations						
		Kons.TSP	vol. sepeda motor	vol. kend. Ringan	vol.kend berat	kec. sepeda motor	kec. kend. Ringan	kec.kend berat
Spearman's rho	Kons.TSP	Correlation Coefficient	1.000	.500	1.000**	.500	-1.000**	-1.000**
		Sig. (2-tailed)	.	.667	.	.667	.	.
		N	3	3	3	3	3	3
vol. sepeda motor		Correlation Coefficient	.500	1.000	.500	1.000**	-.500	-.500
		Sig. (2-tailed)	.667	.	.667	.	.667	.667
		N	3	3	3	3	3	3
vol. kend. Ringan		Correlation Coefficient	1.000**	.500	1.000	.500	-1.000**	-1.000**
		Sig. (2-tailed)	.	.667	.	.667	.	.
		N	3	3	3	3	3	3
vol.kend berat		Correlation Coefficient	.500	1.000**	.500	1.000	-.500	-.500
		Sig. (2-tailed)	.667	.	.667	.	.667	.667
		N	3	3	3	3	3	3
kec. sepeda motor		Correlation Coefficient	-1.000**	-.500	-1.000**	-.500	1.000	1.000**
		Sig. (2-tailed)	.	.667	.	.667	.	.
		N	3	3	3	3	3	3
kec. kend. Ringan		Correlation Coefficient	-1.000**	-.500	-1.000**	-.500	1.000**	1.000**
		Sig. (2-tailed)	.	.667	.	.667	.	.
		N	3	3	3	3	3	3
kec.kend berat		Correlation Coefficient	-1.000**	-.500	-1.000**	-.500	1.000**	1.000**
		Sig. (2-tailed)	.	.667	.	.667	.	.
		N	3	3	3	3	3	3

**, Correlation is significant at the 0.01 level (2-tailed).

Lampiran 3.7 Hubungan volume kendaraan di Jl. Sultan Alauddin dan konsentasi partikulat matter di lapangan

		Correlations						
		Kons.TSP	vol. sepeda motor	vol. kend. Ringan	vol.kend berat	kec. sepeda motor	kec. kend. Ringan	kec.kend berat
Spearman's rho	Kons.TSP	Correlation Coefficient	1.000	.500	.500	.500	-.500	-.500
		Sig. (2-tailed)	.	.667	.667	.667	.667	.
		N	3	3	3	3	3	3
vol. sepeda motor		Correlation Coefficient	.500	1.000	-.500	1.000**	-1.000**	-1.000**
		Sig. (2-tailed)	.667	.	.667	.	.	.667
		N	3	3	3	3	3	3
vol. kend. Ringan		Correlation Coefficient	.500	-.500	1.000	-.500	.500	-.500
		Sig. (2-tailed)	.667	.667	.	.667	.667	.667
		N	3	3	3	3	3	3
vol.kend berat		Correlation Coefficient	.500	1.000**	-.500	1.000	-1.000**	-1.000**
		Sig. (2-tailed)	.667	.	.667	.	.	.667
		N	3	3	3	3	3	3
kec. sepeda motor		Correlation Coefficient	-.500	-1.000**	.500	-1.000**	1.000	1.000**
		Sig. (2-tailed)	.667	.	.667	.	.	.667
		N	3	3	3	3	3	3
kec. kend. Ringan		Correlation Coefficient	-.500	-1.000**	.500	-1.000**	1.000**	1.000
		Sig. (2-tailed)	.667	.	.667	.	.	.667
		N	3	3	3	3	3	3
kec.kend berat		Correlation Coefficient	-1.000**	-.500	-.500	-.500	.500	.500
		Sig. (2-tailed)	.	.667	.667	.667	.667	.
		N	3	3	3	3	3	3

**, Correlation is significant at the 0.01 level (2-tailed).

Lampiran 3.8 Hubungan volume kendaraan di Jl. AP Pettarani dan konsentasi partikulat matter di ruang kelas

		Correlations						
		Kons.TSP	vol. sepeda motor	vol. kend. Ringan	vol.kend berat	kec. sepeda motor	kec. kend. Ringan	kec.kend berat
Spearman's rho	Kons.TSP	Correlation Coefficient	1.000	.500	-.500	.500	-.500	-.500
		Sig. (2-tailed)	.	.667	.667	.667	.667	.667
		N	3	3	3	3	3	3
vol. sepeda motor		Correlation Coefficient	.500	1.000	.500	1.000**	-1.000**	-1.000**
		Sig. (2-tailed)	.667	.	.667	.	.	.
		N	3	3	3	3	3	3
vol. kend. Ringan		Correlation Coefficient	-.500	.500	1.000	.500	-.500	-.500
		Sig. (2-tailed)	.667	.667	.	.667	.667	.667
		N	3	3	3	3	3	3
vol.kend berat		Correlation Coefficient	.500	1.000**	.500	1.000	-1.000**	-1.000**
		Sig. (2-tailed)	.667	.	.667	.	.	.
		N	3	3	3	3	3	3
kec. sepeda motor		Correlation Coefficient	-.500	-1.000**	-.500	-1.000**	1.000	1.000**
		Sig. (2-tailed)	.667	.	.667	.	.	.
		N	3	3	3	3	3	3
kec.kend Ringan		Correlation Coefficient	-.500	-1.000**	-.500	-1.000**	1.000**	1.000**
		Sig. (2-tailed)	.667	.	.667	.	.	.
		N	3	3	3	3	3	3
kec.kend berat		Correlation Coefficient	-.500	-1.000**	-.500	-1.000**	1.000**	1.000
		Sig. (2-tailed)	.667	.	.667	.	.	.
		N	3	3	3	3	3	3

**, Correlation is significant at the 0.01 level (2-tailed).

Lampiran 3.9 Hubungan volume kendaraan di Jl. Sultan Alauddin dan konsentasi partikulat matter di ruang kelas

		Correlations						
		Kons.TSP	vol. sepeda motor	vol. kend. Ringan	vol.kend berat	kec. sepeda motor	kec. kend. Ringan	kec.kend berat
Spearman's rho	Kons.TSP	Correlation Coefficient	1.000	.500	-.500	.500	-.500	-.500
		Sig. (2-tailed)	.	.667	.667	.667	.667	.667
		N	3	3	3	3	3	3
vol. sepeda motor		Correlation Coefficient	.500	1.000	1.000**	1.000**	-1.000**	-1.000**
		Sig. (2-tailed)	.667
		N	3	3	3	3	3	3
vol. kend. Ringan		Correlation Coefficient	.500	1.000**	1.000	1.000**	-1.000**	-1.000**
		Sig. (2-tailed)	.667
		N	3	3	3	3	3	3
vol.kend berat		Correlation Coefficient	.500	1.000**	1.000**	1.000	-1.000**	-1.000**
		Sig. (2-tailed)	.667
		N	3	3	3	3	3	3
kec. sepeda motor		Correlation Coefficient	-.500	-1.000**	-1.000**	-1.000**	1.000	1.000**
		Sig. (2-tailed)	.667
		N	3	3	3	3	3	3
kec.kend Ringan		Correlation Coefficient	-.500	-1.000**	-1.000**	-1.000**	1.000**	1.000**
		Sig. (2-tailed)	.667
		N	3	3	3	3	3	3
kec.kend berat		Correlation Coefficient	-.500	-1.000**	-1.000**	-1.000**	1.000**	1.000
		Sig. (2-tailed)	.667
		N	3	3	3	3	3	3

**, Correlation is significant at the 0.01 level (2-tailed).